

徳山高専 正員 佐賀孝徳
 徳山高専 正員 大成博文
 山口大学 正員 斎藤隆

1. まえがき

開水路隅角部の乱流構造を検討することは、河川防災上のみならず流体力学の基礎的分野においても極めて重要であり意義深い。⁽¹⁾⁽²⁾ 本報告は、主として可視化法を用い、乱流二次流れの発生原因を突明するという観点から、隅角部の秩序構造を解明しようとしたものであり、とくに隅角部近傍の縦渦の三次元構造について検討を行なった。また、平均流特性から、隅角部を三つの領域に区分し、それぞれの領域にありて秩序構造の特徴を調べた。さらに、隅角部近傍の縦断面可視化を行ない、横渦の挙動についても考察した。

2. 実験方法および実験条件

可視化の方法として、レーザースリット法による横断面視(Fig.1) 縦断面視(Fig.2)の両方が用いられた。縦断面視法では、レーザースリット面か水路床に対し 45 度と 90 度との二つの角度で挿入された。90 度の場合は、下流に鏡が設置され、広範囲の撮影が行なわれた。縦断面視法では、水路上方にプリズムを置き、そこにはレーザー光線を通しスリット面を作った。また、現象を連続的に把握するために、撮影装置にはビデオカメラ(100 sec のストップアウオッチ内蔵)が用いられた。

流速計測には、前方散乱方式のレーザー流速計(DISA 55Aリニアズ, 2Wアルゴンレーザー)が用いられた。

実験条件を、Table 1 に示す。

2. 隅角部の平均流特性

Fig.3 は、隅角部の平均流速の等流速線図である。この図のオーナーの特徴は、流速のコンターラインが隅角部方向へ凸形状を呈することであり、これはより水路中央部に近い高速の流体が隅角部に流れ込む二次流れが存在することを示唆している。オーナーは、隅角部の三つの領域でそれぞれコンターラインの特徴が異なることであり、それぞれを A, B, C 領域とし、そこでの秩序構造の特徴を調べることにした。

3. 隅角部の縦渦構造と横渦構造

Fig.4 は、レーザースリット法(90度)によって可視化された写真の一例である。底壁上と側壁上の両方に秩序運動としての縦渦(対)が多数形成されており、両壁のそれぞれの渦の相互作用により、隅角へ向う二次流れが誘起されていると考えられる。その際、隅角部の各領域にありる縦渦の特性が若干異なるようであり、A では隅角へ向うほど縦渦の形状が低くなり、B で

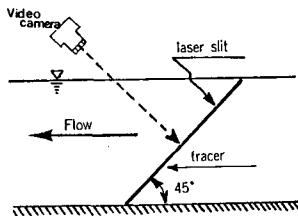


Fig.1 Schematic of streamwise visualization

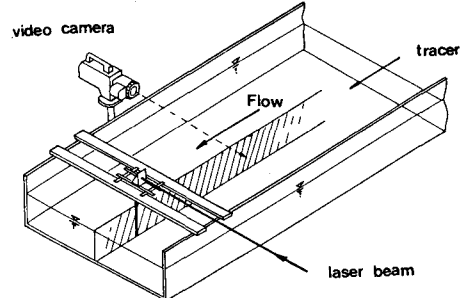


Fig.2 Schematic of side visualization

Table 1 Experimental condition

CASE	U_m cm/s	U_p cm/s	H cm	Re $U_{max} H_p$
A	5.43	0.33	6.71	4720
B	6.40	0.41	6.80	5070

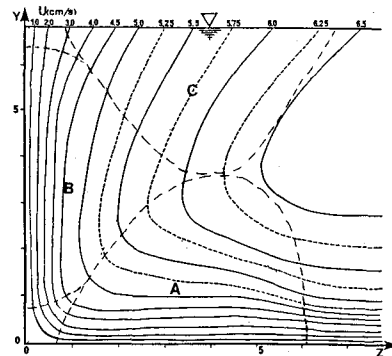


Fig.3 Velocity contour line of the corner CASE B

は、全体的に縦渦の背丈があまり大きくなく、Cでは、縦渦が流れ方向に比較的長いスケールをもつようになる。

次に、隅角部での縦渦の三次元構造を Fig.5 のように求めた。これは、0.1 sec 間隔の隅角部の縦渦(45度ズレット)のビデオ映像を Taylor の束結仮定を用い重ね合わせることによって得られた。まず特徴的なのは、隅角部のごく近傍では縦渦対が見られないが、領域 A には、発達・減衰を繰り返す縦渦が常に観察できることである。とくに、@では底壁、側壁の縦渦があ互いに対をなして隅角方向に流体を輸送する現象が観察できる。また、それは、間欠的に存在しており、このような間欠的な側壁および底壁の縦渦が、二次流れの形成に大きく寄与していると思われる。

Fig.6 は、側壁より 0.4 cm, 5.4 cm 離れた位置での縦断面可視化である。(それぞれ B領域、A領域に対応する。) 特徴として (a)では、壁面近傍の現象である low speed streak が観察できるか、(b)では、A領域の底壁の縦渦に関連した横渦が顕著に観察できる。今後、横渦と縦渦の相互作用を明確にしてゆくことで、隅角部の二次流れの形成機構をより明らかにしてゆきたい。

参考文献 1)木下良作：土木学会論文集 354号/II-1, 1984 2)谷一郎 なかれ Z-2, 1983

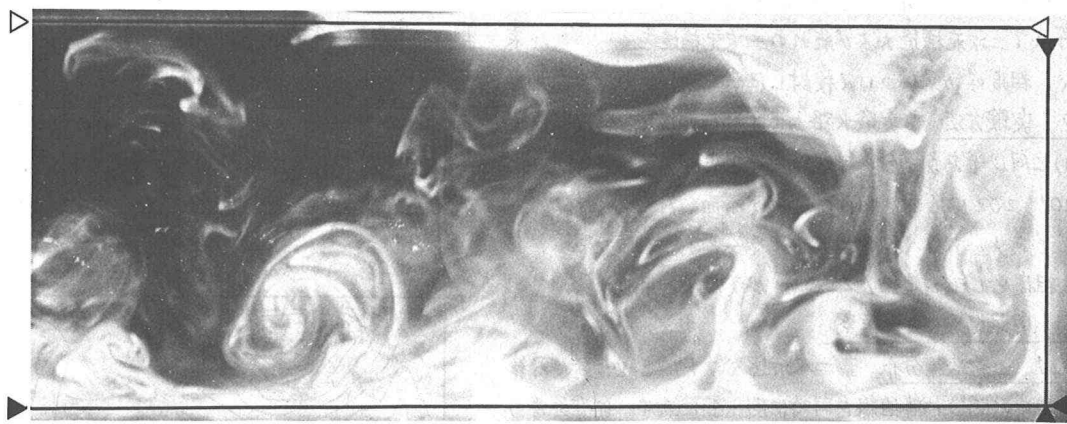


Fig.4 Streamwise view of the corner CASE A ▲△ water surface ▶◀ wall surface

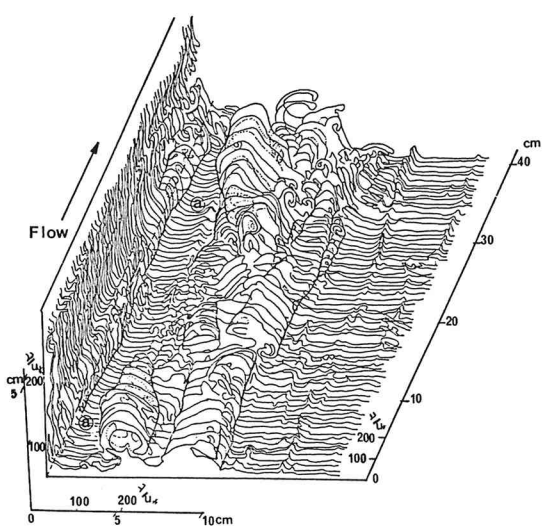


Fig.5 Three dimensional structure of streamwise vortices CASE B

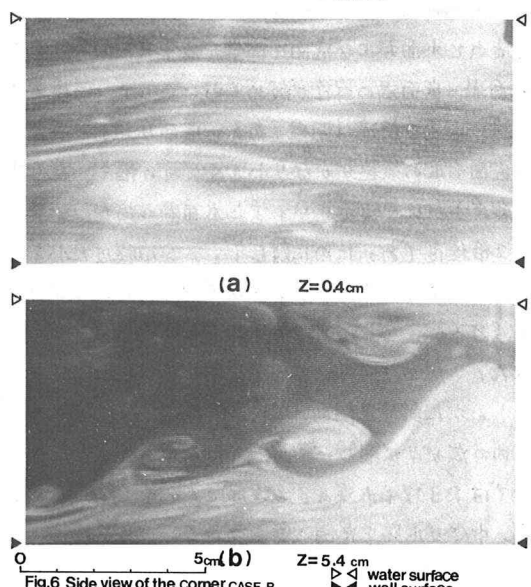


Fig.6 Side view of the corner CASE B ▲△ water surface ▶◀ wall surface